

Correcciones radiativas a $B^\pm \rightarrow \rho^0 \ell^\pm \bar{\nu}_\ell$

Sergio Tostado

Departamento de Física
CINVESTAV-IPN

May 21, 2015



XXIX Reunión Anual de la
División de Partículas y Campos de la SMF

Asesor: Dr. Gabriel López Castro

- 1 Introducción
- 2 Decaimiento del B
 - Correcciones radiativas
 - Bremsstrahlung
- 3 Contribuciones de largas distancias a decaimientos raros (presentación de Adolfo Guevara)
- 4 Conclusiones

Introducción (Motivación)

- ▶ En el ME las mezclas e interacciones débiles entre los quarks tipo up y down se encuentran codificadas en una matriz unitaria: CKM ¹.
- ▶ Determinaciones precisas de sus entradas son importantes para verificar su unitariedad y obtener hints de Nueva Física.
- ▶ El estudio de las correcciones radiativas (RC) ha sido necesario para una estimación precisa de los parámetros de la teoría, verificar su renormalización, etc., exhibiendo así su naturaleza cuántica ².
- ▶ Las fábricas de B 's medirán mejor algunos decaimientos exclusivos y
- ▶ decaimientos raros del B en búsqueda de desviaciones del ME.

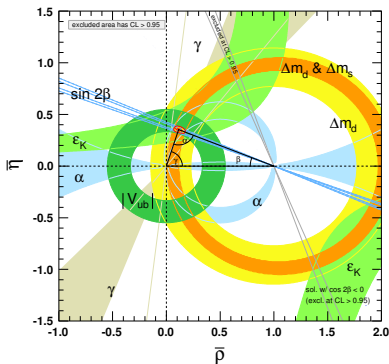
¹M. Kobayashi and T. Maskawa, PTP **49**, 652 (1973).

²G. 't Hooft and M. Veltman, NPB **153**, 365 (1979), A. Sirlin, Phys. Rev. **164**, 1767 (1967).

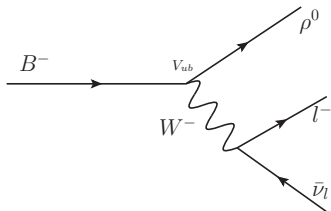
3σ

- ▶ $|V_{ub}| = (4.41 \pm 0.15_{-0.17}^{+0.15}) \times 10^{-3}$ (Inclusivos)^a
- ▶ $|V_{ub}| = (3.28 \pm 0.29) \times 10^{-3}$ (5 modos exclusivos para $b \rightarrow ul\nu$)
- ▶ $|V_{ub}| = (4.22 \pm 0.42) \times 10^{-3}$ (de $B \rightarrow \tau\bar{\nu}$, no incluido)

^aK.A. Olive et al. (PDG), Chin. Phys. C, **38**, 090001 (2014)



El decaimiento $B^\pm \rightarrow \rho^0 l^\pm \bar{\nu}_l$



$$\mathcal{M} = -i \frac{G_F V_{ub}}{\sqrt{2}} H_\nu L^\nu, \quad (1)$$

donde $L^\nu = \bar{u}_\ell \gamma^\nu (1 - \gamma_5) v_\nu$ y $q = p_B - k = p_\ell + p_\nu$.

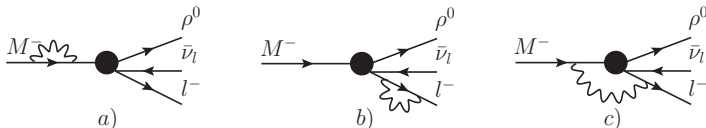
$$H^\nu = \frac{1}{\sqrt{2}} \left(\frac{-2iV}{m_B + m_V} \epsilon^{\nu\alpha\beta\gamma} \varphi_\alpha k_\beta p_{B\gamma} + (m_B + m_V) A_1 \varphi^\nu - \frac{A_2}{m_B + m_V} q \cdot \varphi (p_B^\nu + k^\nu) + \frac{2m_V A}{q^2} q \cdot \varphi q^\nu \right). \quad (2)$$

$$|V_{ub}| \sim (3.69 \pm 0.35) \times 10^{-3}$$

³ Belle II medirá con una precisión de entre 3 y 10 %, lo cual requiere la inclusión de las correcciones radiativas. No calculadas en $B \rightarrow V l \nu$.

³ A. Sibidanov et al. [Belle], PRD **88**, 032005 (2013).

Correcciones Radiativas $\mathcal{O}(\alpha)$



$$\mathcal{M}^{wfr} = \mathcal{M}^0 \left(\frac{1}{2} \delta Z_2 + \frac{1}{2} \delta Z_m \right)$$

Independiente del modelo

$$\delta Z_2 = \frac{\alpha}{4\pi} (2 - B_0[m^2, 0, m^2] + 4m^2 B'_0[\rho^2, \lambda^2, m^2])$$

$$\delta Z_m = \frac{\alpha}{4\pi} (2B_0^M[M^2, 0, M^2] + 4M^2 B_0^{\prime M}[\rho^2, \lambda^2, M^2])$$

$$\begin{aligned} \mathcal{M}^{MIV} = & \frac{\alpha}{4\pi} \mathcal{M}^0 \{ 2B_0[m^2, 0, m^2] + B_0^M[M^2, 0, M^2] - 2B_0^{IM}[(P - p)^2, m^2, M^2] \\ & + 4p \cdot PC_0[m^2, M^2, (P - p)^2, m^2, \lambda^2, M^2] - 2M^2 C_1[m^2, M^2, (P - p)^2, m^2, \lambda^2, M^2] \} \\ & - \frac{\alpha}{4\pi} \frac{G_F}{\sqrt{2}} m W^\mu(P_\rho, P) C_2[m^2, M^2, (P - p)^2, m^2, \lambda^2, M^2] \bar{u}_\ell \not{P} \gamma_\mu (1 - \gamma_5) v_{\bar{\nu}_\ell} , \end{aligned} \quad (3)$$

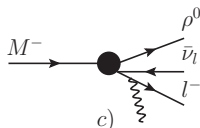
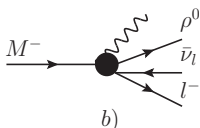
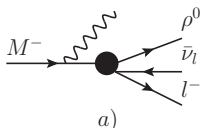
$$B_0[m^2, 0, m^2] = 2 - \ln \left(\frac{m^2}{\Lambda^2} \right) \quad (4)$$

$$B_0^{IM}[(P - p)^2, m^2, M^2] = - \int_0^1 dx \ln \left(\frac{-x(1-x)(P-p)^2 + xM^2 + (1-x)m^2}{\Lambda^2} \right) , \quad (5)$$

$$C_0[m^2, M^2, (P - p)^2, m^2, \lambda^2, M^2] = - \frac{1}{4ME\beta} \ln \left(\frac{1 + \beta}{1 - \beta} \right) \ln \left(\frac{(P - p)^2}{\lambda^2} \right) - F_2(P, p) , \quad (6)$$

$$\begin{aligned} F_2(P, p) &= \frac{1}{2} \int_0^1 dy \frac{1}{\chi(y)} \ln \left(\frac{\chi(y)}{(P-p)^2} \right) \\ \chi(y) &= (P - p)^2 y^2 + 2(p \cdot P - p^2)y + p^2 . \end{aligned} \quad (7)$$

Bremsstrahlung

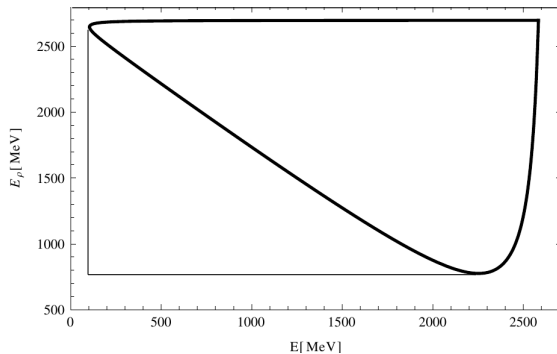


$$d\Gamma^\gamma = d\Gamma^0 \frac{e^2}{(2\pi)^3} \int \frac{d^3k}{2\omega_k} \left(\frac{2P \cdot p}{(P \cdot k)(p \cdot k)} - \frac{M^2}{(P \cdot k)^2} - \frac{m^2}{(p \cdot k)^2} \right) + \frac{\alpha}{4\pi} \int d\Phi_4 \left[\sum_{m,n} C_{m,n} I_{m,n} \right] \quad (8)$$

Divergencia IR

$$d\Gamma^\gamma = d\Gamma^0 \left[\frac{\alpha}{\pi} I_0(E_\ell, E_V, \lambda^2) \right] + \frac{\alpha}{4\pi} \int d\Phi_4 \left[\sum_{m,n} C_{m,n} I_{m,n} \right], \quad (9)$$

Espacio fase III y IV



$$\Gamma = \Gamma^0 [1 + \delta_{LD}(\Lambda^2)] , \quad (10)$$

con

$$\delta_{LD}(\Lambda^2) = \frac{\alpha}{\pi} I_0(\lambda^2) + \delta_V(\lambda^2, \Lambda^2) + \delta_{C.I} \quad (11)$$

SD

$$\delta_{SD} = \frac{2\alpha}{\pi} \ln \left(\frac{m_z}{\Lambda} \right) . \quad (12)$$

Todos los procesos semileptónicos mediados por un W incluyen una corrección de cortas distancias de este tipo^a.

^aW. J. Marciano and A. Sirlin, PRL. **71**, 3629 (1993), NPB **196**, 83 (1982).

Resultados

$$\ell = \mu$$
$$\delta_{C.I} = (5.0 \pm 0.2) \times 10^{-5}$$

Λ	δ_{SD}	δ_{LD}	δ_{RC}
$m_\rho/2$	0.0254	-0.0216	0.0037
$m_\rho/2$	0.0245	-0.0209	0.0035
m_ρ	0.0221	-0.0192	0.0030
m_ρ	0.0213	-0.0185	0.0027
$2m_\rho$	0.0189	-0.0167	0.0022
$2m_\rho$	0.0180	-0.0161	0.0019

$$\delta_{RC} = (2.9 \pm 0.8) \times 10^{-3}$$

$$|V_{ub}| = (3.64 \pm 0.35) \times 10^{-3}$$

$$\ell = e$$
$$\delta_{C.I} = (9.7 \pm 0.3) \times 10^{-5}$$

Λ	δ_{SD}	δ_{LD}	δ_{RC}
$m_\rho/2$	0.0254	-0.0525	-0.0271
$m_\rho/2$	0.0245	-0.0519	-0.0273
m_ρ	0.0221	-0.0501	-0.0279
m_ρ	0.0213	-0.0494	-0.0281
$2m_\rho$	0.0189	-0.0477	-0.0287
$2m_\rho$	0.0180	-0.0470	-0.0289

$$\delta_{RC} = (-2.80 \pm 0.09) \times 10^{-2}$$

$$|V_{ub}| = (3.74 \pm 0.35) \times 10^{-3}$$

Se pueden verificar las contribuciones LD mediante

$$\mathcal{T}_{LD} = \frac{1 + \delta_{LD}^\mu}{1 + \delta_{LD}^e} = 1.0325 \pm 0.0002$$

(independiente de Λ) y comparar con su valor extraído del experimento

$$\mathcal{T}_{LD}^{exp} = \frac{\Gamma_{B\mu 3} I_{(0)}^e}{\Gamma_{Be 3} I_{(0)}^\mu} = 1.002 \pm 0.098$$

Conclusiones

- ▶ Se determinaron las correcciones electromagnéticas de $\mathcal{O}(\alpha)$, independientes del modelo, para el decaimiento $B^\pm \rightarrow \rho^0 \ell^\pm \bar{\nu}_\ell$.
- ▶ Se encontró que las correcciones de LD son sensibles a las diferencias en el espacio fase, duplicando su valor al pasar de $\ell = \mu$ a $\ell = e$.
- ▶ Mediciones más precisas del Br y bajas incertidumbres en los factores de forma permitirían determinar $|V_{ub}|$ hasta $\mathcal{O}(10^{-5})$.
- ▶ Una determinación experimental de \mathcal{T}_{LD} permitiría verificar las contribuciones de LD.